

## АНОМАЛЬНОЕ ЗАМЕДЛЕНИЕ НИЖНЕГИБРИДНЫХ ВОЛН В ТОРОИДАЛЬНОЙ ПЛАЗМЕ

*Ю.Ф.Баранов, А.Д.Пилюя, А.Р.Эстеркин*

Показано, что в тороидальной плазме токамака, волны из диапазона частот  $\sqrt{\omega_{He} \omega_{Hi}} < \omega < \omega_{He}$  могут испытывать аномальное замедление. В приближении холодной плазмы существует аттрактор лучевых траекторий, при приближении к которому неограниченно возрастает волновой вектор  $k$  и поле волны  $E$ . В плазме с конечной температурой происходит эффективное черенковское поглощение ВЧ мощности.

Настоящим сообщением мы хотим привлечь внимание к тому факту, что в токамаке, при частотах в несколько раз превышающих частоту нижнего гибридного резонанса наблюдается особенность в распространении медленной моды колебаний, приводящая к быстрому поглощению волн независимо от температуры плазмы. Особенность проявляется в виде существования аттрактора лучевых траекторий, рассчитанных без учета теплового движения частиц. Аттрактор представляет собой окружность с центром на оси симметрии системы, которая "притягивает" траектории из конечного объема плазмы. Асимптотическое приближение к аттрактору сопровождается неограниченным ростом волнового вектора  $k$ ; при конечной температуре это приводит к затуханию волн.

Причиной этого эффекта является полоидальная неоднородность магнитного поля на магнитной поверхности. Поэтому явление особенно сильно выражено при некруговой форме сечения плазменного шнура; в этом случае оно наблюдается в широком интервале частот.

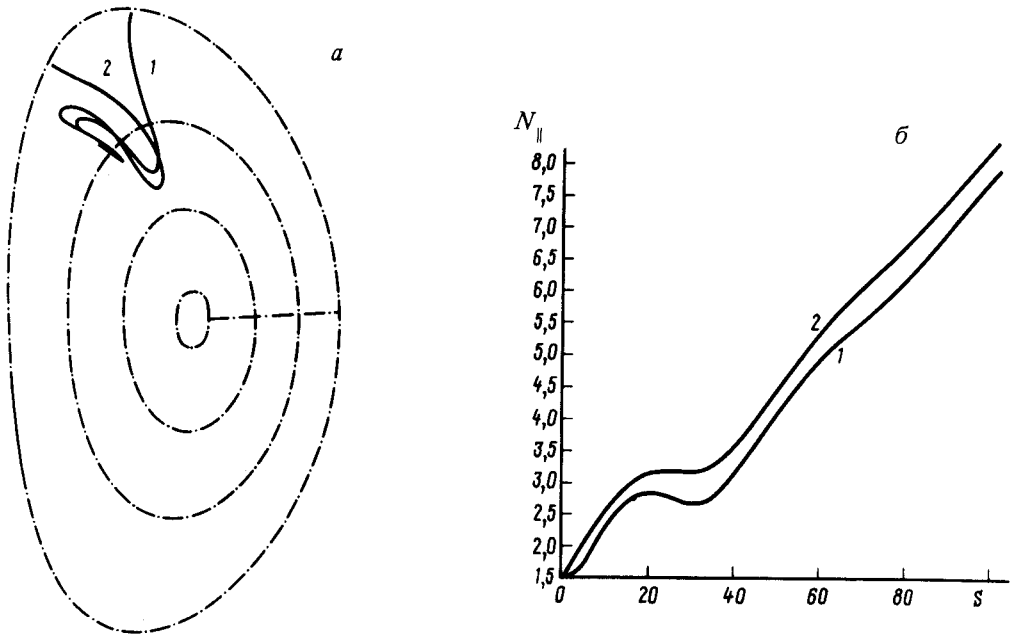


Рис. 1. *a* – Лучевые траектории волн в проекции на малое сечение токамака для начальных углов запуска  $\theta = 1,57$  (1) и  $\theta = 2,1$  (2); *б* – изменение продольного замедления вдоль этих траекторий в пространстве

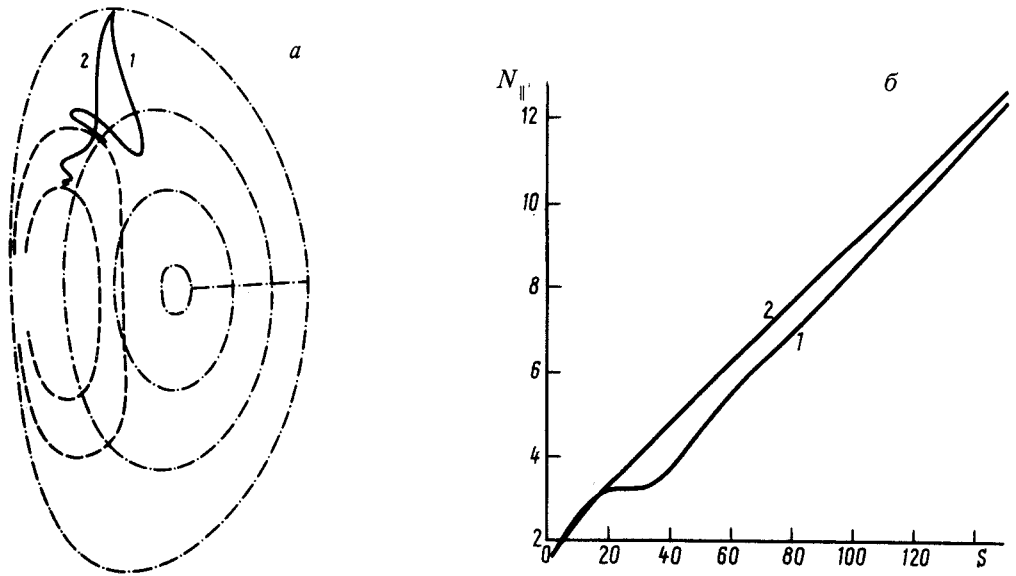


Рис. 2а – Лучевые траектории волн в проекции на малое сечение токамака для частот  $f = 9,2$  ГГц (1) и  $f = 11,4$  ГГц (2); *б* – изменение продольного замедления вдоль этих траекторий в пространстве

В качестве иллюстрации на рис. 1 представлены примеры лучевых траекторий волн (в проекции на малое сечение токамака) и показана эволюция вдоль них продольного замедления волн  $N_{\parallel} = k_{\parallel} c/\omega$ , где  $k_{\parallel}$  – проекция  $k$  на полное магнитное поле  $B$ ,  $\omega$  – частота колебаний. Расчеты выполнены при  $T_e = T_i = 0$ ,  $\omega = 6,8 \omega_{LH}$ , где  $\omega_{LH} = \omega_{pi}/(1 + \omega_{pe}^2/\omega_{He}^2)^{1/2}$  – нижнегибридная частота, остальные параметры соответствуют одному из вариантов проекта ИТЭР и они использовались ранее при расчетах по возбуждению тока НГ – волнами <sup>1</sup> ( $R_0 = 5,8$  м,  $a = 2$  м,  $k = 2$ ,  $n_0 = 1,5 \cdot 10^{14}$  см<sup>-3</sup>,  $B_0 = 5,1$  Т,  $I = 18$  МА обозначение стандартные). Начальные значения  $N_{\parallel}$  и  $N_{pol} = k_{pol} c/\omega$  ( $k_{pol}$  – проекция  $k$  на полоидальное магнитное поле  $B_{pol}$ ) для двух изображенных траекторий равны 3 и 10, соответственно. Как видно из рисунка, проекции траекторий сходятся в одной точке, которая и является следом аттрактора. В пространстве длина траектории оказывается бесконечной за счет движения в тороидальном направлении. При конечной температуре форма траектории практически не меняется вплоть до расстояний, на которых амплитуда становится малой по сравнению со своим начальным значением. В данном примере аттрактор существует в частотном интервале  $8,5 \div 14,5$  ГГц. Ниже будет показано, что на аттракторе лучевых траекторий становится сингулярным не только волновой вектор волны, но и ее электрическое поле. Таким образом, особенность не является следствием приближения геометрической оптики. Ее происхождение находит объяснение в рамках анализа, выполненного в работах <sup>2, 3</sup>, согласно которому сингулярность связана с некоторыми избранными точками параболической линии уравнения

$$\text{div} \hat{\epsilon} \nabla \varphi = 0, \quad (1)$$

где  $\varphi$  – скалярный потенциал и  $\hat{\epsilon}$  – тензор диэлектрической проницаемости плазмы при  $T_e = T_i = 0$  (речь идет о двумерной задаче в плоскости полоидального сечения токамака, рассмотрением которой можно ограничиться в силу аксиальной симметрии плазменной конфигурации). Параболическая линия отделяет область, где уравнение (1) является гиперболическим от области, где оно относится к эллиптическому типу. Параболическую линию удобно исследовать, рассматривая вместо (1) соответствующее дисперсионное уравнение  $\epsilon k_{\perp}^2 + \eta k_{\parallel}^2 = 0$ , где  $\epsilon = \epsilon_{xx}$  и  $\eta = \epsilon_{zz}$  в системе координат с осью  $z$ , направленной вдоль магнитного поля. В токамаке при  $B_{pol}/B \ll 1$ ,  $k_{\perp}^2 \approx k_{\rho}^2 + k_{pol}^2$  и  $k_{\parallel} \approx k_{pol} B_{pol}/B + k_{\varphi}$ , где  $k_{\rho}$  – составляющая полоидальной компоненты  $k$ , перпендикулярная к  $B_{pol}$  и  $k_{\varphi}$  – тороидальная компонента волнового вектора, так что дисперсионное уравнение приобретает вид

$$k_{\rho}^2 = - \eta (B_{pol} k_{pol}/B + k_{\varphi})^2 / \epsilon - k_{pol}^2, \quad (2)$$

Тип уравнения (1) определяется величиной коэффициента  $\Phi = - \eta B_{pol}^2 / (\epsilon B^2)$  при  $k_{pol}^2$ . Область, где  $\Phi > 1$  является гиперболической, в ней могут существовать двумерные волны со сколь угодно большими значениями  $k_{pol}$  и  $k_{\rho}$ . В эллиптической области  $\Phi < 1$ ,  $k_{pol}$  и  $k_{\rho}$  ограничены. Параболические линии определяются, очевидно, равенствами

$$\epsilon = 0 \quad \text{и} \quad \Phi = 1. \quad (3)$$

В диапазоне частот, который мы рассматриваем  $\epsilon > 1$  во всем объеме плазмы так, что остается только второе условие в (3). Согласно <sup>2</sup>, сингулярной точкой волнового уравнения (в малом сечении токамака) является та точка линии  $\Phi = 1$ , в которой эта линия перпендикулярна к  $B_{pol}$ . Чтобы выяснить, при каких условиях такая точка существует заметим, что функция  $\Phi(r, \theta)$  ( $r$  и  $\theta$  – полярные координаты в полоидальном сечении с началом на магнитной оси разряда) обращается в ноль при  $r = 0$  и на границе шнура; в промежутке она, как функция  $r$  имеет максимум  $\Phi_0(\theta)$ . При низких частотах  $\Phi_0 \gg 1$ , в этом случае имеется две параболические линии, одна вблизи оси и другая на периферии. Линии всюду состав-

ляют малый угол с  $B_{p01}$  и особая точка отсутствует. С увеличением частоты  $\Phi_0$  уменьшается; при некотором  $\omega = \omega_1 \sim \omega_{pe} a / (R_0 q_0)$  ( $q_0$  — запас устойчивости) минимальное по углу  $\theta$  значение  $\Phi_0(\theta)$  становится равным единице. При этом две параболические линии соединяются и появляется особая точка. Она существует вплоть до частоты  $\omega = \omega_2$ , при которой становится равным 1 максимальное по углу значение  $\Phi_0$  и гиперболическая область исчезает. На рис. 2 в качестве иллюстрации пунктиром отмечены две параболические линии для разных частот волн. Сплошными линиями показаны проекции лучевых траекторий на малое сечение токамака для соответствующих частот.

Чтобы выяснить, как ведет себя в окрестности аттрактора решение волнового уравнения, введем локальную систему координат с началом в особой точке, осью  $x$ , направленной по касательной к параболической линии и осью  $y$  — по внешней нормали к ней. Тогда при малых  $x$  и  $y$  можно положить  $\Phi - 1 = x^2/l^2 + \lambda y/l$ , где  $l$  и  $\lambda$  — постоянные, а остальные коэффициенты в (2) считать не зависящими от координат. В этом приближении потенциальное волновое уравнение (1) приобретает вид

$$\frac{\partial^2 \varphi}{\partial \xi^2} + \frac{\partial \varphi}{\partial \zeta} [(\xi^2 + \lambda \zeta) \frac{\partial \varphi}{\partial \zeta}] - 2ip \frac{\partial \varphi}{\partial \zeta} + p^2 \varphi = 0, \quad (4)$$

где  $\varphi(\xi, \zeta)$  — потенциал,  $\xi = x/l$ ,  $\zeta = y/l$ ,  $P = \sqrt{|\eta_0|/\epsilon'} k_{\varphi} l$ . Уравнение (4) подробно исследовано в случае  $p = 0$ <sup>3</sup>. При  $p \neq 0$  также удается найти систему собственных мод, убывающих при  $|\xi| \rightarrow \infty$ :

$$\varphi_n(\xi, \zeta) = \int_0^{\infty} t^{-3/4 + i\nu} \exp[-i\{(1 - i\lambda/\beta^2)\zeta^2/2 - p^2/\lambda t + t\zeta\}] \cdot H_n(\beta\sqrt{t}\xi) dt, \quad (5)$$

где  $H_n$  — полином Эрмита,  $n = 0, 1, \dots$ ,  $\beta = (1 - \lambda^2/16)^{1/4}$  (предполагается, что  $\lambda < 4$ ) и  $\nu = [(2n + 1)\beta^2 - 2p]/\lambda$ .

Наглядное представление о поведении функции (5) можно получить рассматривая их при  $\xi = 0$ . Из (5) в этом случае сразу следует, что  $\varphi \rightarrow \zeta^{-3/4 + i\nu}$  при  $\zeta \rightarrow 0$ . Степень особенности такова, что обеспечивает в особой точке конечное поглощение энергии при диссипации стремящейся к 0. При прохождении этой точки амплитуда поля уменьшается в  $\exp(\pi\nu)$  раз, что означает практически полное затухание. Исследование интеграла (3) показывает, что мода с большими номерами  $n > p/\beta^2 - 1/2$  локализована в гиперболической области, в то время как мода с  $n < p/\beta^2 - 1/2$  описывают волны, приходящие из эллиптической области. Наличие бесконечного набора независимых решений с особенностью в точке  $x = y = 0$  показывает, что сингулярным этой точке будет весьма широкий класс решений уравнения (1) (а именно, интеграл этого уравнения, зависящий от одной произвольной функции).

Из-за нехватки места мы не касаемся практических аспектов описанного явления. Отметим только его сходство с обычным гибридным резонансом. В частности, нижний гибридный резонанс связан с особой точкой на параболической линии  $\epsilon = 0$ ; поведение лучевых траекторий и решений уравнения (1) в ее окрестности совершенно аналогично описанному выше.

#### Литература

1. *Baranov Yu.F., Esterkin A.R.* Meeting on Current Drive and Heating in ITER. Garching. 1989. ITER-IL-Ph-6-9-S-16.
2. *Пилюя А.Д., Федоров В.И.* ЖЭТФ, 1971, **60**, 389.
3. *Пилюя А.Д., Федоров В.И.* В сб. Высокочастотный нагрев плазмы, ИФФАН СССР, Горький, 1983, 281.